

# 核磁共振录井发展现状与定性识别油水层方法

邓 鑫 王 鑫 刘 玥 王 超

东北石油大学地球科学学院，黑龙江 大庆 163318

**摘要：**为了能够准确地评价储集层及油气资源，分析岩石物性参数和孔隙流体性质具有十分重要的意义。核磁共振录井技术可以在录井施工现场快速、准确、连续分析储层物性，三次测量后得到的  $T_2$  弛豫图谱可以反映储层孔隙流体信息，提供孔隙度、渗透率、含油饱和度以及可动流体饱和度等评价参数；将参数与  $T_2$  弛豫图谱相结合，参照测井以及试油情况等资料，在某油田定性识别 5 口井，核磁共振录井解释与试油结论基本相符。因此，利用核磁共振  $T_2$  弛豫图谱与分析参数可以有效地定性评价储集层，为油田的勘探开发提供基础资料和数据。

**关键词：**核磁共振录井；定性识别；孔隙度；含油饱和度

DOI:10.3969/j.issn.1006-5539.2016.01.016

## 0 前言

早在 20 世纪 90 年代初中国就引进了国外核磁共振技术。多年来，各油田录井公司在应用核磁共振录井技术测试分析油气藏岩石样品、识别评价储层和孔隙流体方面取得突破，积累了丰富的经验。

2006 年，宋超等人<sup>[1-2]</sup>指出核磁共振  $T_2$  弛豫图谱包含了孔隙度、可动流体和流体性质等丰富的信息，根据  $T_2$  弛豫图谱特征与孔隙度、渗透率、可动流体等量化参数相结合，可以准确判断储集层性质和区分油气水层，阐述了稠油比稀油的弛豫时间短、核磁共振信号弱，分析了稠油储集层核磁共振录井的影响因素。2008 年，尹军强等人<sup>[3]</sup>将核磁共振录井技术应用于江苏油田水淹层解释中，证明了核磁共振录井技术在评价高黏度油层、高束缚水低阻油层、测井疑难层中起到了重要作用。2010 年，申辉林等人<sup>[4]</sup>对核磁共振录井  $T_2$  弛豫图谱截止值的确定方法及其适应性进行了研究，提出了一种利用  $T_2$  弛豫图谱几何均值 ( $T_{2GM}$ ) 求取  $T_{2cutoff}$  的新方法，当含油饱和度小于 40 % 时，该模型的精度较高，含油饱和度对模型精度影响较大。2013 年，方锡贤等人<sup>[5]</sup>分析了核磁共振录井技术在非常规油气储层的适应性。

## 1 原理与测量方式

核磁共振录井的主要研究对象是油气藏的岩心、岩屑和井壁取心样。根据岩样的不同，测量方法不同。本文重点研究井壁取心样，采用三次测量法，具体实验过程如下<sup>[6-8]</sup>：

- 1) 按照核磁共振录井标准进行样品准备；
- 2) 根据实验所需测量全部岩样设计仪器的调试参数，对核磁共振仪器进行调试和定标；
- 3) 初始状态核磁共振测量，即第一次测量；
- 4) 抽真空加压饱和模拟地层水；
- 5) 饱和状态核磁共振测量，即第二次测量；
- 6) 岩样浸泡锰水，岩样浸泡在浓度为 15 000 mg/L 的氯化锰水溶液中，浸泡时间要足够长，保证消除岩样中水的核磁共振信号，通常普通岩样浸泡时间为 24 h；
- 7) 泡锰状态核磁共振测量，即第三次测量。

三次测量分别得到干样信号、孔隙信号、油信号，见图 1。通过计算可以得到测量岩样的孔隙度、渗透率、含油饱和度、可动流体饱和度等参数，而且可以测量岩样初始状态可动水饱和度、初始状态束缚水饱和度、初始状态含水饱和度、饱和状态可动水饱和度、饱和状态束

收稿日期：2015-10-08

基金项目：黑龙江省科学基金项目“致密砂岩导电规律与导电模型实验研究”(D 2015012)

作者简介：邓 鑫(1990-)，女，黑龙江绥化人，硕士研究生，主要从事地球探测与信息技术研究。

束缚水饱和度以及饱和状态含水饱和度。

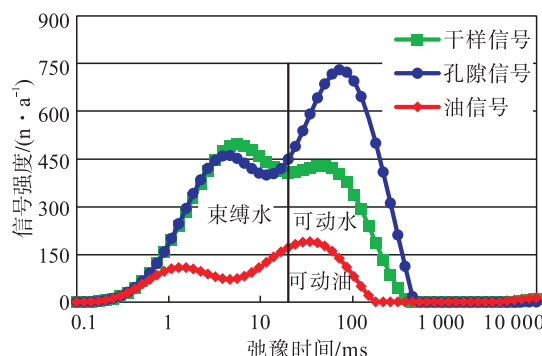


图1 油藏三次测量法

## 2 测量参数

### 2.1 孔隙度

标准样是已知体积和孔隙度的岩样或模拟岩样,利用标准样进行定标,然后测量样品,根据样品的核磁信号幅度自动计算孔隙度。图2是某地区20块样品的核磁共振孔隙度与常规孔隙度的关系图,从图2中可以看出,相关系数为0.903 2,核磁孔隙度略小于常规孔隙度<sup>[9-13]</sup>。

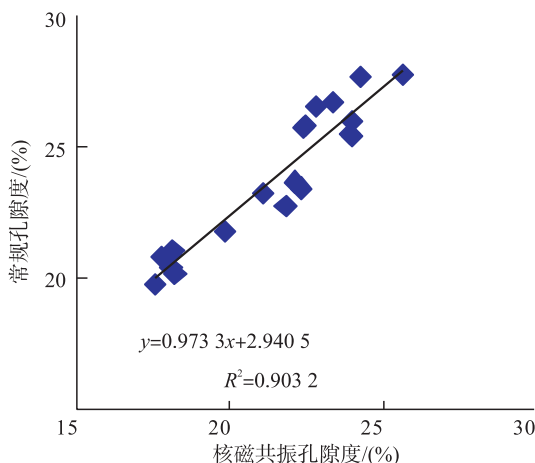


图2 核磁共振孔隙度与常规孔隙度关系图

### 2.2 渗透率

利用核磁共振录井技术测量渗透率时,首先需要测量核磁共振孔隙度等参数,然后根据核磁共振渗透率模型进行计算。核磁共振渗透率模型是在理论和实验的基础上总结出来的经验公式。

各地区油田多采用Coates模型计算渗透率:

$$K_{\text{nmm}} = \left( \frac{\phi_{\text{nmm}}}{C} \right)^4 \left( \frac{BVM}{BVI} \right)^2$$

式中: $BVM$ 为可动流体百分数,%; $BVI$ 为束缚流体百分数,%; $\phi_{\text{nmm}}$ 为核磁共振孔隙度,%; $K_{\text{nmm}}$ 为核磁共振渗透率, $10^{-3} \mu\text{m}^2$ ; $C$ 为渗透率系数,无量纲,是一个与岩石样品相关的系数,不同地层的岩样有不同的 $C$ 值。

### 2.3 含油饱和度

图3是含油岩样泡锰前后核磁共振 $T_2$ 弛豫图谱,饱和地层水后测量的孔隙信号是孔隙中油和水共同作用得到的信号,总面积为 $A$ ;泡锰后测量的信号只是孔隙中油的作用结果,面积记为 $A_1$ ;因此 $S_o = \frac{A_1}{A} \times 100\%$ 。

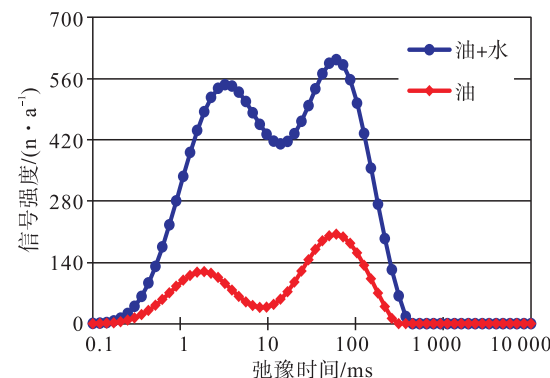


图3 含油岩样泡锰前后核磁共振 $T_2$ 弛豫图谱

## 3 油水层定性识别方法

不同性质流体具有不同的响应特征,运用岩心分析、试油分析等资料在油气层与邻近岩性、物性相似的水层对比和分析,总结出了不同流体性质储层在核磁共振测量 $T_2$ 弛豫图谱的不同响应特征,可以利用 $T_2$ 弛豫图谱定性识别水淹层,见图4,砂岩的 $T_2$ 截止值一般采用33 ms。

### 3.1 干层特征

三种信号均在10 ms以内,不出现分析情况。

### 3.2 油层特征

在 $T_2$ 截止值右侧干样信号与油信号曲线重合较好,油峰峰值高、位置靠后。表现为较高的含油饱和度和较低的可动水饱和度。

### 3.3 油水同层特征

在 $T_2$ 截止值右侧干样信号与油信号曲线开始分离,油峰峰值开始降低、位置逐渐靠前。表现为可动水的增加和含油饱和度的降低。

### 3.4 水层特征

在 $T_2$ 截止值右侧干样信号与油信号曲线分离程度特别大,油峰峰值低、位置靠前;起伏不明显。表现为大孔隙中充满了可动水,含油饱和度很低<sup>[14-20]</sup>。

## 4 应用

在某油田,利用核磁共振录井分析参数以及 $T_2$ 弛豫图谱,定性识别5口井储层性质,表1是核磁共振录井解释与试油结论比较,可以看出,利用 $T_2$ 弛豫图谱定性识别储层性质具有较高的准确性。

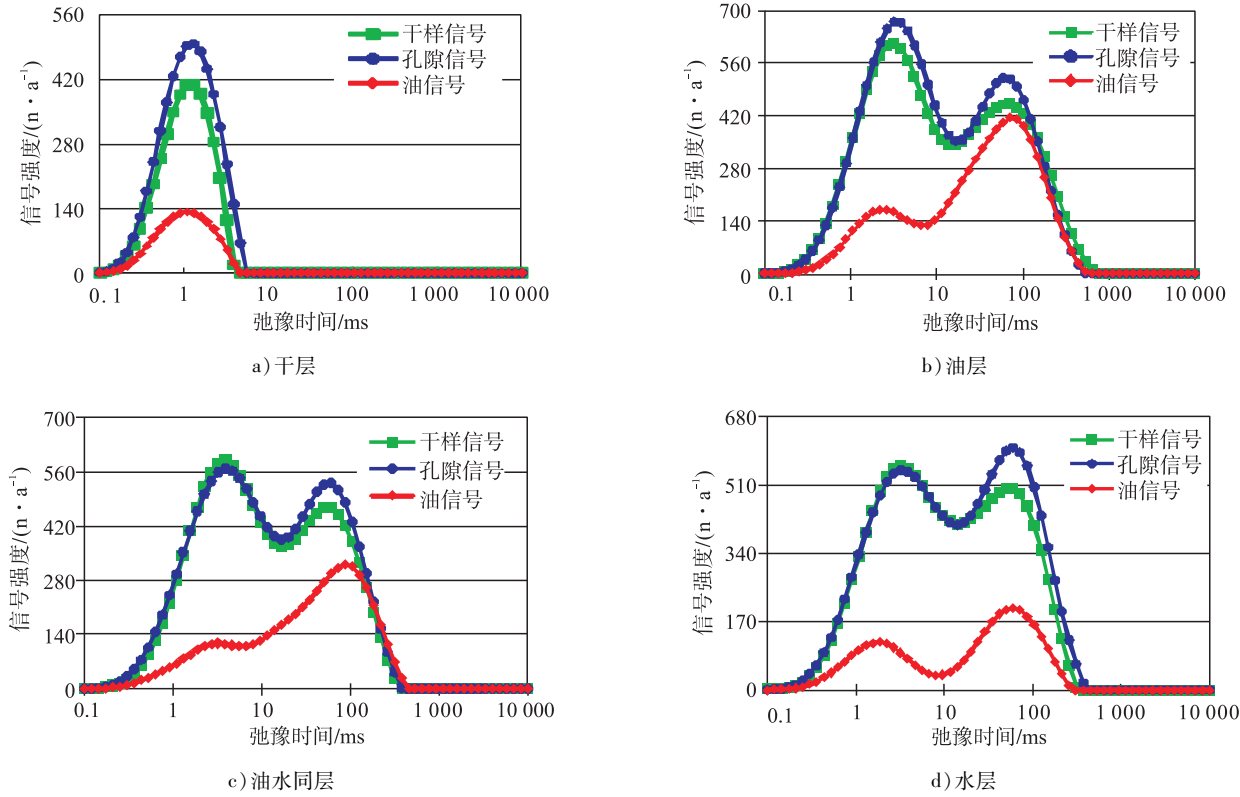
图4 不同流体性质  $T_2$  弛豫图谱

表1 核磁共振录井解释与试油结论对比

井名	井段 /m	核磁共振录井分析参数				核磁解释	试油情况		
		孔隙度 / (%)	渗透率 / ( $10^{-3} \mu\text{m}^2$ )	含油饱和度 / (%)	含水饱和度 / (%)		油 / $\text{m}^3$	水 / $\text{m}^3$	试油结论
Z 43-4	1853.3 - 1874.4	7.34	0.47	25.23	74.77	油水同层	1.0	1.4	油水同层
S 20-74	2010.4 - 2011.4	20.11	1.55	12.34	87.66	油干层	2.1	-	油层
CJ 1	2134.0 - 2150.0	18.39	61.68	26.99	73.01	含水油层	4.4	3.1	含水油层
G 6-111	2089.9 - 2099.6	6.04	0.02	26.69	73.31	油干层	压后 10.4	压后 8.8	油水同层
ZJ 4	2220.4 - 2240.3	20.77	35.76	18.95	81.05	水层	1.9	5.0	含油水层

由于核磁共振录井是直接分析地层的岩心、岩屑，测量得到的各项参数能更直接反映储集层性质，解释方面更具有独特的作用。如 Z 43-4 井 1 853.3 - 1 874.4 m 井段，选取具有代表性的 1 874.4 m 处岩心的核磁共振录井  $T_2$  弛豫图谱，见图 5，孔隙度为 7.34%，渗透率为  $0.47 \times 10^{-3} \mu\text{m}^2$ ，含油饱和度为 25.23%，含水饱和度为 74.77%，在  $T_2$  截止值右侧，干样信号与油信号曲线有一定分离，油峰峰值不高，可动水饱和度为 30.71%，可动油饱和度为 10.33%，综合分析核磁解释为与油水同层。试油情况：日产液 2.4  $\text{m}^3$ ，油 1  $\text{m}^3$ ，含水 58.3%，试油结论为油水同层。核磁解释与试油结论相符合。

## 5 结论

1) 核磁共振录井技术具有样本用量少、速度快、成本低、岩样无损、参数多、准确性高、连续性强、可随钻分

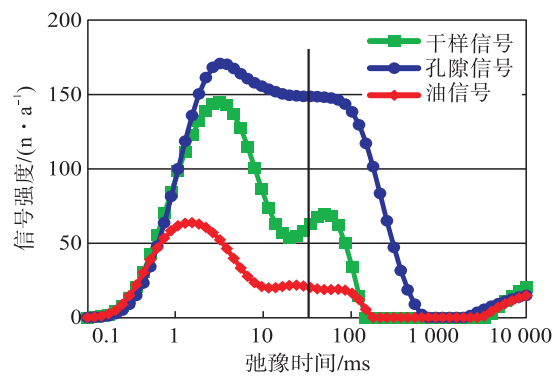


图5 Z 43-4 井 1 874.4 m 核磁共振  $T_2$  弛豫图谱  
析等优点。

2) 核磁共振可提供孔隙度、渗透率、可动流体及含油饱和度等准确评价油气层的重要参数。

3) 利用核磁共振  $T_2$  弛豫图谱结合核磁共振分析参数定性识别储层性质准确性较高，在某油田的应用效果

非常理想。

4)但核磁共振对于储层中油水同时存在的情况,定性识别含油水层、油水同层、含水油层的具体界限没有明确确定。

#### 参考文献:

- [1] 宋超,宋明会,吴德龙. $T_2$ 弛豫谱在核磁共振录井解释中的应用[J].录井工程,2006,17(3):49-52.  
Song Chao, Song Minghui, Wu Delong. Application of  $T_2$  Relaxation Spectra in NMR Logging Interpretation [J]. Mud Logging Engineering, 2006, 17 (3) : 49 - 52.
- [2] 宋超.核磁共振录井技术在稠油领域的应用[J].录井工程,2007,18(3):9-12.  
Song Chao. Application of NMR Logging Technology in the Viscous Field [ J ]. Mud Logging Engineering, 2007, 18 (3) : 9 - 12.
- [3] 尹军强,朱巨义.核磁共振录井技术在江苏油田的应用[J].岩性油气藏,2008,20(2):102-107.  
Yin Junqiang, Zhu Juyi. Application of NMR Logging Technology in Jiangsu Oilfield [ J ]. Lithologic Reservoirs, 2008, 20 (2) : 102 - 107.
- [4] 申辉林,朱伟峰,刘美杰.核磁共振录井 $T_2$ 谱截止值确定方法及其适应性研究[J].录井工程,2010,21(2):39-42.  
Shen Huilin, Zhu Weifeng, Liu Meijie. The Method of Determining  $T_2$  Cutoff Value in NMR Logging and Study on Its Applicability [ J ]. Mud Logging Engineering, 2010, 21 (2) : 39 - 42.
- [5] 方锡贤,姚芳虎,张淑琴,等.非常规油气储集层录井技术应用与发展思考[J].录井工程,2013,24(2):22-26.  
Fang Xixian, Yao Fanghu, Zhang Shuqin, et al. Application and Development of Mud Logging Technology for Unconventional Hydrocarbon Reservoirs [ J ]. Mud Logging Engineering, 2013, 24 (2) : 22 - 26.
- [6] 刘卫,刑立,顾兆斌,等.核磁共振录井[M].北京:石油工业出版社,2011.  
Liu Wei, Xing Li, Gu Zhaobin, et al. Nuclear Magnetic Resonance Logging [ M ]. Beijing: Petroleum Industry Press, 2011.
- [7] 刘美杰.江苏油田核磁共振录井综合应用研究[D].东营:中国石油大学(华东),2010.  
Liu Meijie. The Comprehensive Application Research of NMR Mud Logging in Jiangsu Oil Field [ D ]. Dongying: China University of Petroleum (EastChina), 2010.
- [8] 王为民,赵刚,谷长春,等.核磁共振岩屑分析技术的实验及应用研究[J].石油勘探与开发,2005,32(1):56-59.  
Wang Weimin, Zhao Gang, Gu Changchu, et al. Experiment and Application of NMR Technology on Cuttings [ J ]. Petroleum Exploration and Development, 2005, 32 (1) : 56 - 59.
- [9] 王志战.核磁共振岩石物性录井技术新进展[J].录井技术,2002,13(2):8-16.  
Wang Zhizhan. The New Development in NMR Petrophysical Property Mud Logging Technology [ J ]. Mud Logging Engineering, 2002, 13 (2) : 8 - 16.
- [10] 王志战.核磁共振录井技术进展与展望[J].录井工程,2011,22(4):12-15.  
Wang Zhizhan. The Progress and Prospects of Nuclear Magnetic Resonance Logging [ J ]. Mud Logging Engineering, 2011, 22 (4) : 12 - 15.
- [11] 王守军,慈兴华,王志战,等.核磁共振录井技术在胜利油田的应用[J].录井工程,2007,18(1):24-27.  
Wang Shoujun, Ci Xinghua, Wang Zhizhan, et al. Application of NMR Logging Technique in Shengli Oilfield [ J ]. Mud Logging Engineering, 2007, 18 (1) : 24 - 27.
- [12] 王守军,孙丕善,郭明科,等.核磁共振录井技术影响因素分析与实验研究[J].录井工程,2007,18(4):17-21.  
Wang Shoujun, Sun Peishan, Guo Mingke, et al. The Analysis and Experimental Study for the Affecting Factors on NMR Logging Technology [ J ]. Mud Logging Engineering, 2007, 18 (4) : 17 - 21.
- [13] 李海波.岩心核磁共振可动流体 $T_2$ 截止值实验研究[D].北京:中国科学院研究生院(渗流流体力学研究所),2008.  
Li Haibo. Core Experimental Study of NMR  $T_2$  Cutoff Value [ D ]. Beijing: Graduate University of Chinese Academy of Sciences (Research Institute of Porous Flow and Fluid Mechanics), 2008.
- [14] 王志战,许小琼.利用核磁共振录井技术定量评价储层的分选性[J].波谱学杂志,2010,27(2):214-220.  
Wang Zhizhan, Xu Xiaoqiong. Quantitative Evaluation of Reservoir Separation with MR-ML Technology [ J ]. Chinese Journal of Magnetic Resonance, 2010, 27 (2) : 214 - 220.
- [15] 王志战,许小琼,周宝洁.孔隙流体核磁共振弛豫特征及油水层识别方法[J].油气地质与采收率,2011,18(2):41-44.  
Wang Zhizhan, Xu Xiaoqiong, Zhou Baojie. Pore Fluid NMR Relaxation Characteristics of Oil and Water Layer Identification Method [ J ]. Petroleum Geology and Recovery Efficiency, 2011, 18 (2) : 41 - 44.
- [16] 何庆铭.核磁共振录井技术在松辽盆地西部斜坡区萨尔图油层组的应用[J].录井工程,2013,24(4):24-27.  
He Qingming. NMR Logging Technology for Saertu Reservoir in West Clinoform Region of Songliao Basin [ J ]. Mud Logging Engineering, 2013, 24 (4) : 24 - 27.
- [17] 赵宏波,满百胜,陈堂所.鄂尔多斯盆地低电阻率油层录

井识别方法[J].录井工程,2012,23(2):14-18.  
Zhao Hongbo, Man Baisheng, Chen Tangsuo. Mud Logging Methods in the Identification of Low Resistivity Oil Layers in Ordos Basin [J]. Mud Logging Engineering, 2012, 23 (2): 14-18.

[18] 滕工生,张波,魏明巍,等.核磁共振录井技术在高显示水层评价中的应用[J].录井工程,2011,22(2):42-46.  
Teng Gongsheng, Zhang Bo, Wei Mingwei, et al. The Application of the Nuclear Magnetic Resonance Logging Technology in the Water Zones with High Show [J]. Mud Logging Engineering, 2011, 22 (2): 42-46.

[19] 贾翠竹.核磁共振录井在辽河油田SH2区块的应用[J].录井工程,2008,19(4):59-61.

Jia Cuizhu. Application of Nuclear Magnetic Resonance Logging in SH2 Block of Liaohe Oilfield [J]. Mud Logging Engineering, 2008, 19 (4) : 59 - 61.

[20] 宋明会,苑洪瑞,王爱霞,等.核磁共振录井技术在辽河油田N74区块的应用[J].录井工程,2006,17(3):47-48.  
Song Minghui, Yuan Hongrui, Wang Aixia, et al. Application of NMR Logging Technology in Block N74 of Liaohe Oilfield [J]. Mud Logging Engineering, 2006, 17 (3) : 47 - 48.



(上接第48页)

in Triethylene Glycol (TEG) Purity via Hydrocarbon Solvent Injection to a TEG + Water System in a Batch Distillation Column [J]. Energy Fuels, 2011, 25 (11) : 5126-5137.

[11] Isa M A, Eldemerdash U, Nasrifar K. Evaluation of Potassium Formate as a Potential Modifier of TEG for High Performance Natural Gas Dehydration Process [J]. Chemical Engineering Research and Design, 2013, 91 (9) : 1731-1738.

[12] Saidi M, Parhoudeh M, Rahimpour M R. Mitigation of BTEX Emission from Gas Dehydration Unit by Application of Drizo Process: A Case Study in Farashband Gas Processing Plant, Iran [J]. Journal of Natural Gas Science and Engineering, 2014, (19) : 32-45.

[13] 郝蕴.三甘醇脱水工艺探讨[J].中国海上油气:工程,2001,13(3):22-29.  
Hao Yun. Discuss of the TEG Dehydration Process [J]. China Offshore Oil and Gas, 2001, 13 (3) : 22 - 29.

[14] 刘家洪,周平.浅析HYSYS软件在三甘醇脱水工艺设计中的应用[J].天然气与石油,2000,18(1):18-20.  
Liu Jiahong, Zhou Ping. Elementary Analysis of Application of HYSYS Software in TEG Dehydration Processing Design [J]. Natural Gas and Oil, 2000, 18 (1) : 18 - 20.

[15] Netusil M, Dil P. Comparison of Three Methods for Natural Gas Dehydration [J]. Journal of Natural Gas Chemistry, 2011, 20 (5) : 471-476.

[16] Darwish N A, Al-Mehaideb R A, Braek A M, et al. Computer Simulation of BTEX Emission in Natural Gas Dehydration Using PR and RKS Equations of State with Different Predictive Mixing Rules [J]. Environmental Modelling & Software, 2004, 19 (10) : 957-965.

[17] Rouzbahani A N, Bahmani M, Shariati J, et al. Simulation, Optimization, and Sensitivity Analysis of A Natural Gas Dehydration Unit [J]. Journal of Natural Gas Science and Engineering, 2014, 21 : 159-169.

[18] 陈曦,邓道明,万宇飞.CO<sub>2</sub>的三甘醇脱水分析[J].石油与天然气化工,2014,43(6):585-589.  
Chen Xi, Deng Daoming, Wan Yufei. Analysis of Dehydration from CO<sub>2</sub> by TEG [J]. Chemical Engineering of Oil and Gas, 2014, 43 (6) : 585 - 589.

[19] 雷宝刚,李学坤,范峥,等.天然气脱水系统模拟及主要设备优化[J].化学工程,2013,41(2):74-78.  
Lei Baogang, Li Xuekun, Fan Zheng, et al. Simulation of Natural Gas Dehydration System and Optimization of Main Equipment [J]. Chemical Engineering, 2013, 41 (2) : 74 - 78.

[20] 袁宗明,王勇,贺三,等.三甘醇脱水的计算机模拟分析[J].天然气与石油,2012,30(3):21-26.  
Yuan Zongming, Wang Yong, He San, et al. Analysis on Computer Simulation of TEG Dehydration [J]. Natural Gas and Oil, 2012, 30 (3) : 21 - 26.